

## Семинар № 9. Расчет линзовых антенн

Линзовая антenna состоит из электромагнитной линзы и облучателя. Линза представляет собой радиопрозрачную среду, в которой электромагнитная волна движется с определенной фазовой скоростью  $V_\phi$ . Если фазовая скорость волны в линзе меньше скорости света в вакууме ( $V_\phi < c$ ) и коэффициент замедления волны  $p = \frac{c}{V_\phi} > 1$ , то такая линза называется замедляющей. Если же  $V_\phi > c$  и  $p < 1$ , то линза называется ускоряющей. К облучателям линзовых антенн предъявляются те же требования, что и к облучателям зеркальных антенн.

На рис.1 схематически показаны основные разновидности линзовых антенн: с ускоряющей линзой и с замедляющей линзой. В обоих случаях облучатель располагается в фокусе  $F$  линзы. Поверхность линзы, обращенная к облучателю, называется ее раскрытом, ось  $z$ , проходящая через фокус и центр раскрыва линзы  $O$  - осью линзы. Точка  $O$  носит название вершины линзы, а линия  $AOB$  - профиля линзы. Величина  $FO = f$  - фокусное расстоянием линзы.

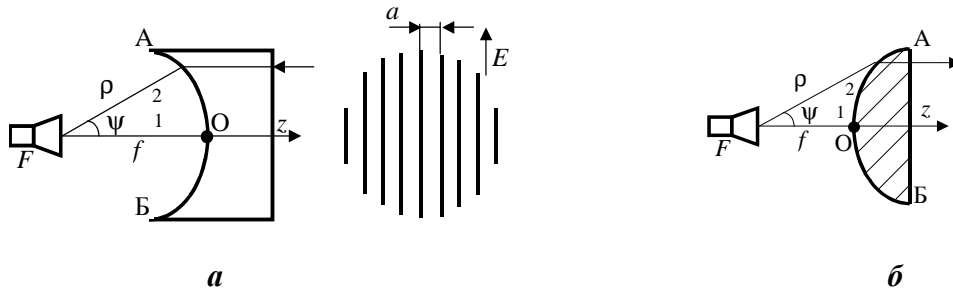


Рис.1. Основные разновидности линзовых антенн:  
а - с ускоряющей линзой; б - с замедляющей линзой

Назначение линзы состоит в преобразовании сферической либо цилиндрической волны облучателя в плоский фронт волны в ее раскрытии.

Выравнивание фазового фронта волны облучателя происходит вследствие того, что различные его участки проходят в линзе неодинаковый путь. Так, в ускоряющей линзе (рис.1,а) периферийная часть фронта волны проходит наибольший путь, а центральная часть фронта (вдоль оси  $z$ ) - наименьший. Поэтому профиль ускоряющей линзы является вогнутым. В замедляющей линзе (рис.1,б) выравнивание фазового фронта волны обусловлено замедлением центральной его части, которая проходит в линзе наибольший путь. Вследствие этого профиль линзы является выпуклым.

С точки зрения геометрической оптики на поверхности, определяемой профилем линзы, происходит преломление лучей, выходящих из точки  $F$ . Следовательно, профиль линзы должен обеспечить условие параллельности преломленных лучей оси линзы.

Для получения уравнений профиля линз необходимо приравнять фазовые набеги двух характерных лучей: центрального и направленного под углом  $\psi$  к оси линзы [1]. В результате получается уравнение профиля ускоряющей линзы:

$$\rho = \frac{(1-p)f}{1 - p \cos \psi}, \quad p < 1, \quad (1)$$

и замедляющей линзы

$$\rho = \frac{(p-1)f}{p \cos \psi - 1}, \quad p > 1. \quad (2)$$

Уравнение (1) является уравнением эллипса в полярной системе координат  $(\rho, \psi)$ , а (2) - уравнением гиперболы.

Рассмотрим особенности замедляющих линз. Линзы выполняются из высокочастотного диэлектрика с малыми потерями: полистирола ( $\epsilon = 2,56$ ), фторопласта ( $\epsilon = 2,1$ ) и др. Коэффициент замедления таких линз равен  $p = \sqrt{\epsilon}$  и не зависит от частоты. Существенным недостатком замедляющих линз является высокая стоимость диэлектрика и большой удельный вес линзы. Поэтому наряду с линзами из обычного диэлектрика применяются линзы из искусственного диэлектрика, представляющего собой совокупность металлических включений в форме шариков, дисков или полос, распределенных в пенистом полистироле [2]. Величина коэффициента замедления таких линз составляет  $1,4 \div 1,6$ .

Ускоряющие линзы представляют собой набор из тонких параллельных металлических пластин, образующих вогнутую поверхность (см. рис.1,*a*). Коэффициент замедления таких линз определяется по формуле

$$p = \sqrt{1 - \left(\frac{\lambda}{2a}\right)^2} \quad (3)$$

и лежит в пределах  $0 \div 0,866$ . Обычно выбирают  $p \approx 0,51$ , что соответствует середине диапазона.

Металлопластинчатые линзы являются узкополосными (полоса частот составляет  $2 \div 3\%$ ), поскольку  $p$  зависит от частоты. Кроме того, толщина линзы оказывается значительной, что приводит к увеличению габаритов и веса антенны.

Для устранения указанных недостатков применяют зонирование. Суть его состоит в том, что толщина линзы ступенчато уменьшается, как показано на рис.2.

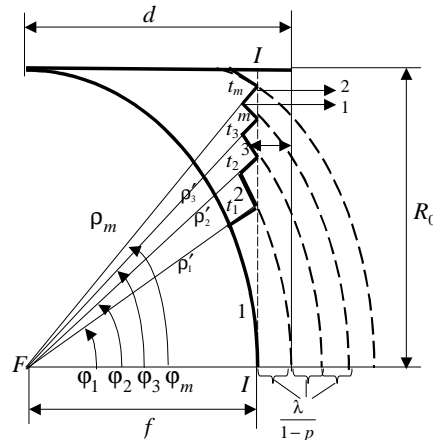


Рис.2. Схема зонирования ускоряющей линзы

Глубина каждой ступеньки  $t_m$  выбирается из условия, чтобы скачок фазы за счет сокращения пути луча в линзе от каждой ступеньки был равен  $2\pi$ . В этом случае синфазность поля в сечении 1-1 сохраняется. Иными словами, разность фаз лучей 2 и 1 в области линзы должна удовлетворять условию

$$kt_m - kpt_m \cos \psi_m = 2\pi,$$

откуда

$$t_m = \frac{\lambda}{1 - p \cos \psi_m}. \quad (4)$$

Каждый однородный участок линзы называется зоной. Зона 1 является центральной; она сохраняет профиль первоначальной линзы. Уравнение профилей остальных линз находится из условия баланса фаз:

$$\rho_m = \frac{(1-p)f + \lambda(m-1)}{1 - p \cos \psi_m}, \quad (5)$$

где  $m = 1, 2, 3, \dots$  и соответствует номеру зоны.

Уравнение (5) определяет семейство эллипсов с фокусами в точке  $F$ . Каждый эллипс имеет свое фокусное расстояние  $f_m$ , определяемое формулой (5), в которой  $\psi_m = 0$ :

$$f_m = p_m|_{\psi_m=0} = f + \frac{\lambda(m-1)}{1-p}. \quad (6)$$

На рис.2 пунктирумыми кривыми показано семейство эллипсов, причем их фокусные расстояния в соответствии с формулой (6) отличаются на величину  $\lambda/(1-p)$ .

При  $m = 1$  (что соответствует центральной зоне) формулы (5) и (6) определяют соответственно профиль и фокусное расстояние первоначальной ускоряющей линзы.

Определим углы  $\psi_m$ , при которых осуществляется зонирование. Эти углы выбираются из условия, чтобы оставшаяся толщина линзы  $s$ , обычно равная  $2a$ , при зонировании не изменялась. Из геометрических построений следует, что

$$(\rho_m + t_m) \cos \psi_m = f. \quad (7)$$

Подстановкой в (7) выражения для  $\rho_m$  и  $t_m$  находится расчетное соотношение для углов зонирования:

$$\cos \psi_m = \frac{f}{f + m\lambda}, \text{ или } \psi_m = \arccos \frac{f}{f + m\lambda}. \quad (8)$$

Проекции выступов на плоскость раскрыва линзы образуют затененные или вредные зоны - необлучаемые участки линзы. Наличие вредных зон, имеющих кольцеобразную форму, приводит к снижению коэффициента использования поверхности антенны и повышению уровня боковых лепестков.

**Пример 1.** Определить толщину  $d$  диэлектрической линзы из полистирола ( $p = 1,6$ ). Диаметр линзы  $2R_0 = 120$  см,  $f = 120$  см (рис.3).

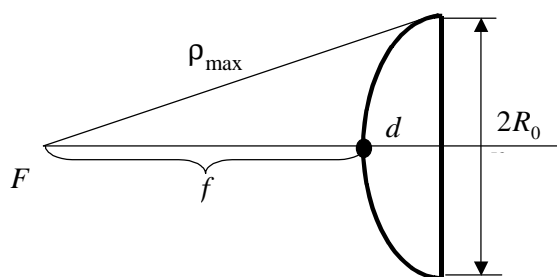


Рис.3. К расчету толщины замедляющей линзы

**Решение.** Из условия баланса фаз для центрального и крайнего лучей составим уравнение:

$$k\rho_{\max} = fk + kpd .$$

С другой стороны, из геометрических соображений легко получить

$$\rho_{\max}^2 = R_0^2 + (f + d)^2 .$$

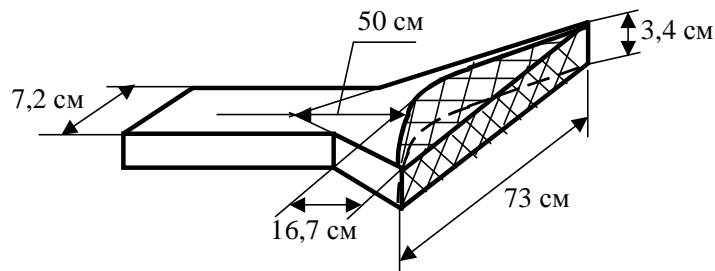
**Решая совместно указанные уравнения, находим выражение для  $d$ :**

$$d = \pm \frac{f}{p+1} \pm \sqrt{\frac{f^2}{(p+1)^2} - \frac{R_0^2}{p^2-1}} . \quad (9)$$

Подставляя в формулу (9) исходные данные, находим  $d \approx 20$  см. Верхние знаки перед первым слагаемым и под знаком корня соответствуют ускоряющей линзе.

**Пример 2.** Провести расчет замедляющей полистироловой линзы ( $p = 1,6$ ), поставленной в раскрыив  $H$ -секториального рупора, обеспечивающего  $D_0 = 20$  см (см. семинар по рупорным антеннам). Оценить преимущества установки линзы.

**Решение.** Рассчитанный  $H$ -секториальный оптимальный рупор имеет следующие размеры:  $D_1 = 73$  см,  $D_2 = 3,4$  см,  $R_p = 178$  см. Выберем фокусное расстояние линзы  $f \approx \frac{R_p}{3 \div 5}$ , что следует из практических рекомендаций. Пусть  $f = 50$  см. Воспользовавшись формулой (9) и приняв в ней  $R_0 = 36,5$  см, найдем  $d = 16,7$  см. В результате получим antennу, схематично представленную на рис.4.



*Рис.4. H-секториальный рупор с замедляющей линзой в раскрыиве*

Таким образом, по сравнению с исходным рупором длина рупора с линзой сократилась примерно в 3 раза. Кроме того, установка линзы в раскрытии рупора приводит к повышению  $D_0$ , поскольку поле в раскрытии стало синфазным. Выигрыш в КНД составит

$$\frac{0,81}{0,64} = 1,27 \text{ раз.}$$

**Пример 3.** Определить толщину ускоряющей металлопластинчатой линзы (см. рис.2), имеющей размеры  $a = 5,5$  см,  $f = 2R_0 = 180$  см при  $\lambda = 10$  см, и произвести ее зонирование.

**Решение.** 1. По формуле (3) находим  $p = \sqrt{1 - (10/11)^2} = 0,42$ .

2. По формуле (9) получаем  $d = 64,9$  см.

3. Определяем максимальный угол раскрытия линзы:

$$\psi_{\max} = \arctg R_0 / (f - d) = \arctg 90/115 = 38,05^\circ.$$

4. По формуле (8) находим углы зонирования  $\psi_m$  и число зон  $m$ .

5. По найденным значениям  $\psi_m$  с помощью формулы (4) определяем глубину ступенек. Данные расчетов оформляем в виде таблицы:

$m$	1	2	3
	4		
$\psi_m$ , град	18,7 35,2	28,8 35,2	31,1 35,2
$t_m$ , см	16,6 15,2	15,8 15,2	15,6 15,2

6. По формуле (5) находим профиль каждой из зон и отображаем графически.

**Задание 1.** Произвести расчет линзы из полистирола, установленной в раскрытии  $E$ -секториального оптимального рупора, обеспечивающего  $D_0 = 20$  (см. семинар по рупорным антеннам).

**Задание 2.** Каким должно быть расстояние  $a$  между пластинами ускоряющей линзы, чтобы  $p = 0,5$  на частоте  $f = 7,5$  ГГц?

*Литература*

1. Драбкин А.Л., Зузенко В.Л., Кислов А.Г. Антенно-фидерные устройства. - М.: Сов. радио, 1974. - С. 287 - 303.
2. Чистюхин В.В. *Антенно-фидерные устройства*. - М.: МИЭТ, 1997. - С. 132 - 144.

## Семинар № 10. Расчет антенн поверхностных волн

К антеннам поверхностных волн следует в первую очередь отнести спиральные и диэлектрические антенны.

**Спиральная антenna** представляет собой отрезок спирали из металлической проволоки либо ленты, вдоль которого распространяется замедленная (или поверхностная) бегущая волна (рис.1). Спираль с шагом  $S$  и диаметром  $D$  имеет длину витка  $L$  и угол намотки  $\alpha$ . Общая длина спирали  $l = nS$ , где  $n$  - число витков. Возбуждающее устройство состоит из экрана диаметром  $D_0 \geq \lambda/2$  и питающего фидера. Экран препятствует затеканию тока на внешнюю поверхность коаксиального фидера и выполняет роль рефлектора, ослабляющего излучение в заднюю полусферу.

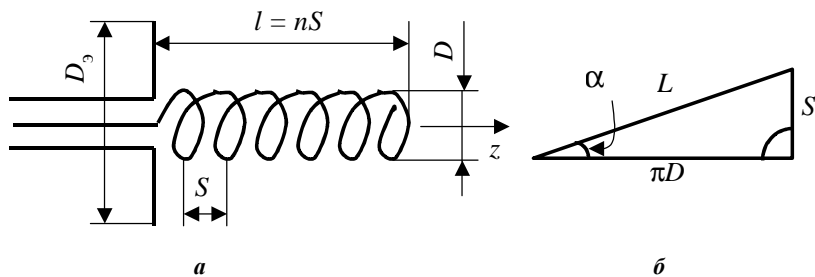


Рис.1. Цилиндрическая спиральная антenna (a) и развертка ее витка (б)

Вдоль витка проволоки распространяется бегущая волна тока с коэффициентом замедления  $p_i$ , а вдоль оси системы - замедленная бегущая волна с коэффициентом замедления  $p$ . Легко видеть, что  $p = p_i / \sin \alpha$ .

Направленные свойства спирали зависят от соотношения ее размеров и длины волны. С практической точки зрения представляет интерес режим осевого излучения, когда  $L \approx \lambda$ . В этом случае вдоль оси спирали распространяется волна  $T_i$ , а вдоль провода спирали возникает бегущая волна тока, коэффициент замедления которой в диапазоне длин волн  $0,7 < \lambda/L < 1,3$  изменяется линейно, как показано на рис.2, т.е. в этом диапазоне частот длина волны тока  $\Lambda_i = \lambda/p_i = \text{const}$ . Максимум диаграммы направленности антенны ориентирован вдоль оси  $z$ , а поле имеет эллиптическую поляризацию [1].

Как показывают расчеты, один виток спирали обладает слабой направленностью. Обострение диаграммы обеспечивается совокупностью витков, т.е. спиральную антенну можно представить как линейную систему с осевым излучением. Число витков выбирается в переделах  $3 < n < 12$ . При  $n < 3$  поле в антенне не успевает сформироваться, а при

$n > 12$  последующие витки уже не вносят вклад в излучение, поскольку ток в них исчезающе мал.

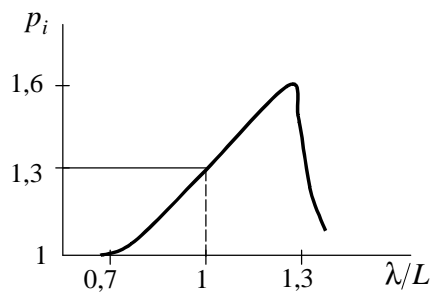


Рис.2. Частотная зависимость коэффициента замедления волны тока в проводе спирали

Существуют два режима осевого излучения: режим круговой поляризации и режим максимального КНД.

Рассмотрим режим круговой поляризации.

Сложение полей отдельных витков в дальней зоне вдоль оси имеет место при условии, что ток в каждом последующем витке отстает по фазе от тока в предыдущем витке на угол  $\phi$ , определяемый выражением

$$\phi - kS = 2\pi. \quad (1)$$

В формуле (1) учтено, что поле от предыдущего витка на пути к последующему витку приобретает фазовый набег  $kS$ . С другой стороны, волна тока приобретает на одном витке фазовый набег

$$\phi = kp_i L. \quad (2)$$

Подставляя (2) в (1), находим

$$kpL = kS + 2\pi \text{ или } pL = S + \lambda. \quad (3)$$

Из формулы (3) легко получить угол намотки спирали, соответствующий режиму круговой поляризации:

$$p_i = \frac{S + \lambda}{L} = \frac{S}{L} + \frac{\lambda}{L} = \sin \alpha + \frac{\lambda}{L}. \quad (4)$$

Как правило, при  $\frac{\lambda}{L} = 1$   $p_i \approx 1,3$ , при этом  $\sin \alpha = 1,3 - 1 = 0,3$ , а  $\alpha = 17^\circ$ .

В режиме максимального КНД (оптимальный режим) необходимо, чтобы первый и последний витки спирали излучали в противофазе, т.е. чтобы обеспечивалось равенство

$$\phi_n - nkS = 2\pi n + \pi. \quad (5)$$

Учитывая, что фазовый сдвиг последнего витка определяется как

$$\phi_n = kp_{i_{\text{опт}}} L, \quad (6)$$

из формул (5) и (6) легко получить

$$p_{i_{\text{опт}}} = \frac{S + \lambda + \frac{\lambda}{2n}}{L}. \quad (7)$$

Формула (7) позволяет определить оптимальный угол намотки спирали:

$$\sin \alpha_{\text{опт}} = \frac{p_{i_{\text{опт}}} - \frac{\lambda}{L}}{1 + \frac{\lambda}{2l}}, \text{ откуда } \alpha_{\text{опт}} \approx 12^\circ.$$

В режиме максимального КНД поле оси антенны поляризовано эллиптически, но близко к кругу ( $\chi > 0,5$ ).

ДН спиральной антенны рассчитывается по формуле для линейной системы с осевым излучением

$$F(\theta) = f_B(\theta) f(\theta), \quad (8)$$

где  $f_B(\theta)$  - ДН одного витка;

$$f(\theta) = \frac{\sin\left[\frac{nk}{2}(pL - S \cos \theta)\right]}{n \sin\left[\frac{k}{2}(pL - S \cos \theta)\right]}.$$

множитель направленности системы;  $p = p_i / \sin \alpha$  - коэффициент замедления волны вдоль оси спирали.

Из формулы (8) следуют соотношения для расчета электрических параметров спиральной антенны (при  $\alpha = 12 \div 17^\circ$ ):

$$\Delta\theta_{0,5} \approx 52 \frac{\lambda}{L} \sqrt{\frac{\lambda}{l}}; \quad D_0 = 15 \frac{l}{\lambda} \left( \frac{L}{\lambda} \right)^2; \quad Z_{\text{вх}} = 140 \frac{L}{\lambda}, \text{ [Ом].} \quad (9)$$

Рабочий диапазон определяется из условия  $0,7 < \lambda < 1,3L$ . Диаметр экрана выбирается в пределах  $(1,0 \div 1,6)l$ .

Достоинствами спиральных антенн являются простота конструкции, широкая полоса рабочих частот ( $\lambda_{\max}/\lambda_{\min} = 1,7$ ), недостатком - невозможность получения для одиночной спирали ширины ДН меньше  $25^\circ$ . Для обострения ДН применяют решетку из спиралей. Для получения сверхшироких рабочих полос частот ( $\lambda_{\max}/\lambda_{\min} > 3$ ) применяют конические спиральные антенны. Широкополосность достигается за счет того, что работает та часть конической спирали, где выполняется условие  $\lambda \leq L$ .

**Диэлектрическая антenna** представляет собой диэлектрический стержень, выходящий из круглого волновода. Конструкция антенны показана на рис.3.

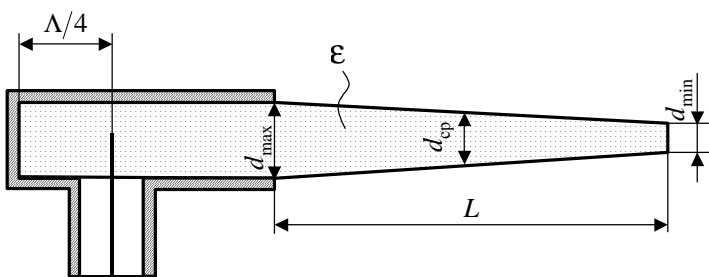


Рис.3. Конструкция стержневой диэлектрической антенны

Принцип работы антенны состоит в том, что вдоль стержня распространяется волна  $HE_{11}$  (основной тип), фазовая скорость которой зависит от  $\epsilon$ ,  $d$ ,  $\lambda$ . Волна  $HE_{11}$  вызывает поляризацию диэлектрика. При этом поляризационные токи могут рассматриваться как элементарные излучатели, сдвинутые относительно друг друга по фазе, как в бегущей волне. Поле излучения всей антенны равно сумме полей излучения элементарных излучателей (как в линейной системе):

$$F(\theta) = f_1(\theta)f(\theta), \quad (10)$$

где  $f(\theta) = \frac{\sin\left[\frac{kL}{2}(p - \cos\theta)\right]}{\frac{kL}{2}(p - \cos\theta)}$  - множитель направленности;  $L$  - длина стержня;  $p$  - коэффициент замедления волны в стержне;  $f_1(\theta)$  - ДН элементарного излучателя.

Зависимость  $1/p$  от  $d/I$  для различных  $\epsilon$  представлена на рис.4.

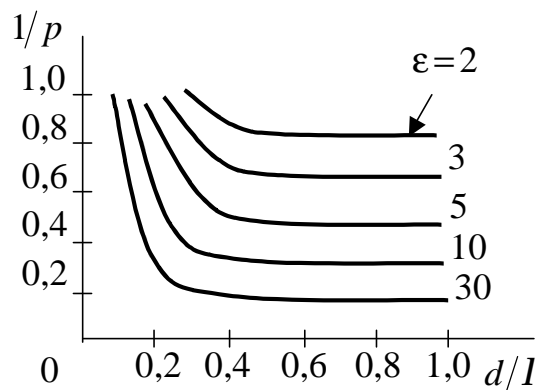


Рис.4. Частотная зависимость коэффициента замедления волны в стержне

Для уменьшения отражения от конца антенны стержень делают коническим, при этом  $d_{\max} = \lambda\sqrt{\pi(\epsilon-1)}$ ,  $d_{\min} = 0,63d_{\max}$ .

Порядок расчета диэлектрической антенны следующий:

- 1) задаются  $\lambda$ ,  $\epsilon$ ;
- 2) определяются  $d_{\min}$  и  $d_{\max}$ ;
- 3) по графику рис.4 находятся  $p_{\min}$  и  $p_{\max}$ ;
- 4) определяется

$$p_{\text{опт}} = (p_{\max} + p_{\min})/2;$$

5) используя  $p_{\text{опт}}$ , определяющий оптимальную длину стержня, при которой обеспечивается максимум КНД, определяют

$$L_{\text{опт}} = \frac{\lambda}{2(p_{\text{опт}} - 1)}; \quad (11)$$

- 6) определяют электрические параметры антенны из условий

$$\Delta\theta_{0,5}^0 \cong 60^0 \sqrt{\frac{\lambda}{L}}; \quad D_0 = (7 \div 8) \frac{L}{\lambda}. \quad (12)$$

**Пример 1.** Цилиндрическая спиральная антенна с углом намотки  $\alpha = 14^0$  предназначена для работы в диапазоне  $\lambda = 10 \div 15$  см. Определить диаметр витков  $D$ , при котором в спирали обеспечивается режим осевого излучения.

**Решение.** 1. Находим  $\lambda_{cp} = (15+10)/2 = 12,5$  см.

2. В режиме осевого излучения  $L = \lambda_{cp} = 12,5$  см.

3. Из развертки спирали (см. рис.1,б) имеем  $\cos \alpha = \pi D/L$ , откуда  $D = \frac{L}{\pi} \cos \alpha = 3,8$  см.

**Пример 2.** Определить геометрические размеры цилиндрической спиральной антенны, обеспечивающей в режиме круговой поляризации  $D_0 = 15$  на длине волны  $\lambda = 15$  см.

**Решение.** 1. Задаемся  $p_i = 1,3$  (в соответствии с рис.2).

2. Полагаем  $L = \lambda = 15$  см.

3. По формуле (3) находим  $S = p_i L - \lambda = 1,3 \cdot 15 - 15 = 4,5$  см.

4. Из развертки спирали находим

$$D = \frac{L}{\pi} \cos \alpha = \frac{15}{\pi} \cos 17^0 = 4,6 \text{ см.}$$

5. По формуле (9) определяем

$$l = nS = \frac{D_0 \lambda}{15} \left( \frac{\lambda}{L} \right)^2 = \frac{15 \cdot 15}{15} = 15 \text{ см, откуда } n \cong 3.$$

**Пример 3.** Рассчитать относительную длину  $L/\lambda$  диэлектрической антенны из полистирола ( $\epsilon = 2,6$ ) диаметром  $d = 0,5\lambda$  и определить ее параметры излучения.

**Решение.** 1. По графику рис.4 находим  $1/p = 0,7$ , откуда  $p_{opt} = 1,43$ .

2. По формуле (11) определяем  $L/\lambda = \frac{1}{2(p-1)} = 1,16$ .

3. По формулам (12) получаем

$$\Delta\theta_{0,5}^0 \cong 60^0 \sqrt{\frac{1}{1,16}} = 55,7^0; \quad D_0 = 7,5 \frac{L}{\lambda} = 7,5 \times 1,16 = 8,7.$$

**Задание 1.** Определить геометрические размеры и параметры излучения цилиндрической спирали, обеспечивающей в оптимальном режиме  $D_0 = 20$  на длине волны  $\lambda = 10$  см.

**Задание 2.** Рассчитать оптимальную коническую диэлектрическую антенну из полистирола ( $\epsilon = 2,6$ ), работающую на длине волны  $\lambda = 7$  см.

### *Литература*

1. **Драбкин А.Л., Зузенко В.Л., Кислов А.Г.** Антенно-фидерные устройства. - М.: Сов. радио, 1974. - С. 309 - 328; 393 - 399.

## Семинар № 11. Проектирование линейной ФАР с заданным уровнем боковых лепестков

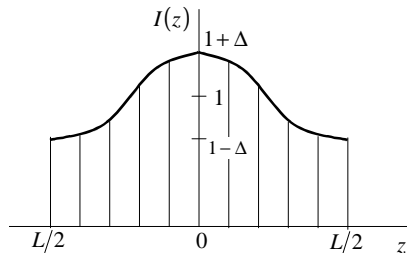
С ЦЕЛЬЮ УМЕНЬШЕНИЯ УБЛ В ФАР ПРИМЕНЯЕТСЯ НЕРАВНОМЕРНОЕ АМПЛИТУДНОЕ ВОЗБУЖДЕНИЕ ТИПА “КОСИНУС НА ПЬЕДЕСТАЛЕ”:

$$I(z) = 1 + \Delta \cos(2\pi z/L), \quad |z| \leq L/2, \quad (1)$$

где  $I(z)$  - амплитудное возбуждение вдоль антенны;  $z$  - текущая координата;  $\Delta$  - параметр, определяющий относительное уменьшение возбуждения на краю антенны;  $L$  - геометрическая длина антенны.

Распределение для дан-  
зано на рис.1.

ной зависимости  $I(z)$  пока-



*Ruc.1. Амплитудное распределение ФАР типа “косинус на пьедестале”*

Раскладывая косинус в сумму двух экспонент, приведем амплитудное распределение к сумме трех равномерных распределений с линейно меняющимися фазовыми сдвигами, являющихся членами ряда Фурье:

$$I(z) = \sum_{n=-1}^1 a_n e^{jn\xi kz}, \quad |z| \leq L/2,$$

где коэффициенты равны  $a_0 = 1$ ,  $a_1 = a_{-1} = \Delta/2$ , а коэффициенты замедления  $\xi = \lambda/L$ .

Множитель направленности, соответствующий распределению (1), определяется суммой:

$$F(\theta) = \sum_{n=-1}^1 a_n \frac{\sin(\phi_0 - n\pi)}{\phi_0 - n\pi}, \quad (2)$$